

Supplementary Information

Table S1. Select meteorological parameters at sites clusters during spring (March-May), summer (June-August), fall (September-November) and winter (December-February).*Data corresponds to December.

		Temperature (°C) Average±stdev	Relative humidity (%) Average±stdev	Precipitation (mm) Total	Wind (vector-average)	
					Speed (m/s) (calm%)	Prevailing direction
Long Beach	Spring	16.3±5	65.2±23.6	12.0	1.6(4.1)	SW
	Summer	21.3±3.8	76.8±17.7	0.7	1.9(3.3)	SW
	Fall	19.9±4.9	67.8±28.7	54.8	1.2(5.6)	W
	Winter	13.8±5	61.6±29.8	168.9	0.7(2.9)	NW
Western LA	Spring	15±4.4	69±18.5	10.9	1.7(9.8)	W
	Summer	19.4±2.7	81±7.9	1.5	0.7(26.2)	W
	Fall	19±4.2	65.3±24.3	98.0	0.2(50.2)	NE
	Winter	13.9±4.8	58.3±26.1	215.8	0.2(26.2)	NW
Central and Eastern LA	Spring	17.2±5.8	59±18.4	9.7	2.1(0.6)	SW
	Summer	22.8±4.8	66.7±13.7	0.0	3.6(1.2)	SW
	Fall	20.9±5.7	55.5±21.4	184.9	1.6(4.6)	SW
	Winter	14.1±5.6	55.6±21.4	182.6*	1.5(0.6)	NE
Riverside	Spring	17.4±6.7	63.4±26.8	1.8	2.6(5)	NW
	Summer	25.6±6.4	65±23	5.6	3.6(2.7)	W
	Fall	22±7.1	56.8±28.1	1.5	1.6(6.5)	NW
	Winter	13.8±6.1	61.8±31.5	78.5	1.3(3.9)	N
Lancaster	Spring	15.2±6.6	40.5±16.7	NA	4.1(13.5)	W
	Summer	27.9±5.4	26.9±9.3	NA	4.3(11.6)	W
	Fall	18.8±7.3	36.5±17.7	NA	1.5(30.5)	W
	Winter	8.7±4.7	55.9±19.7	NA	1.5(33.6)	W

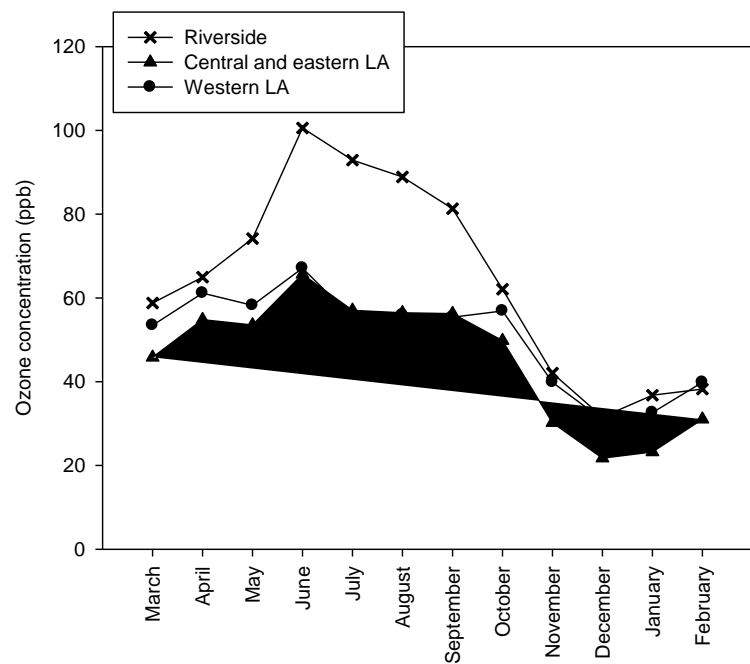


Figure S1- Mean peak levels of ozone in Riverside, central and eastern LA as well as western LA. Data acquired from the online database of the California Air Resources Board.

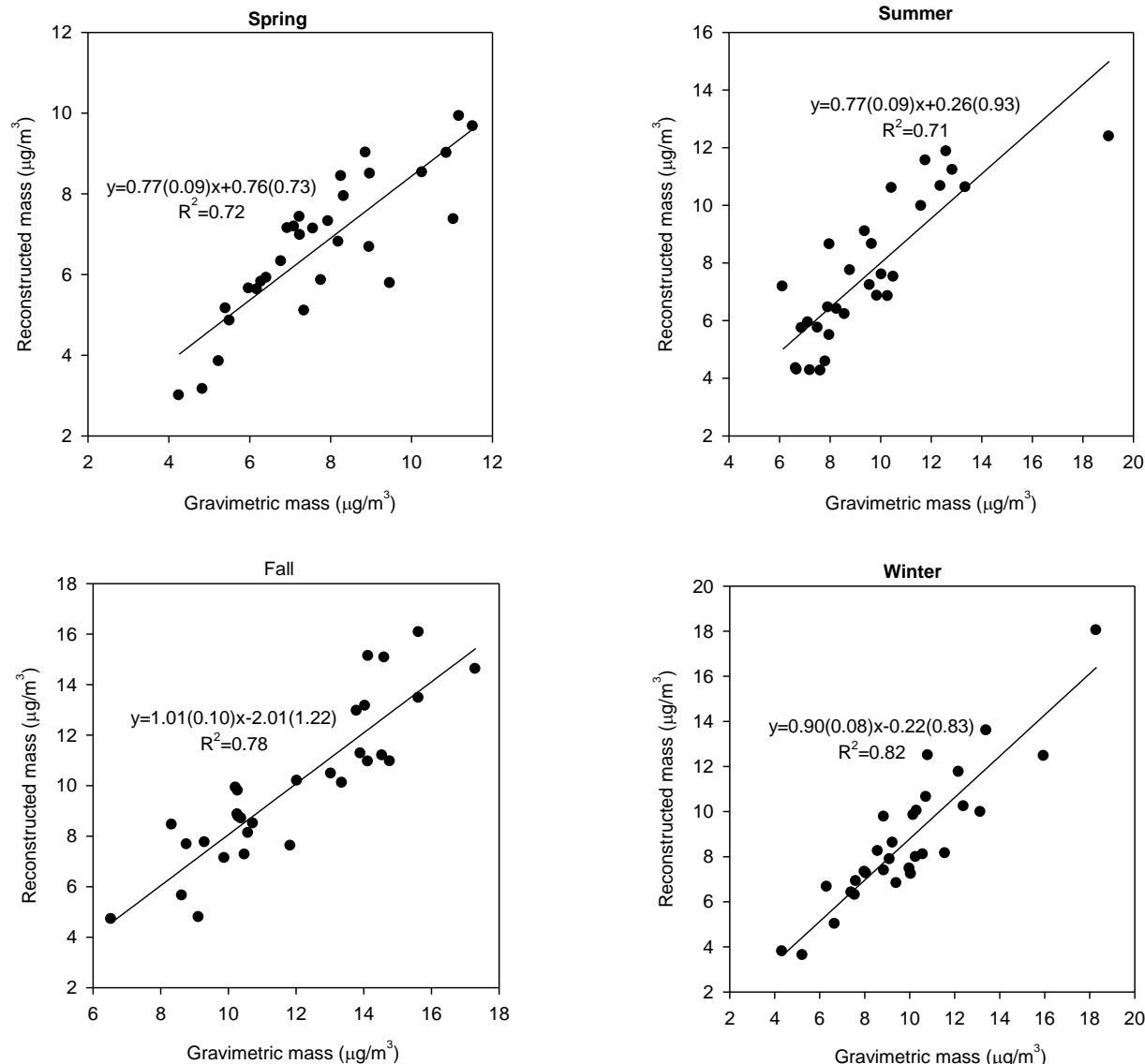


Figure S2a-d. Linear regression plot of monthly reconstructed and gravimetric mass concentrations in a) spring, b) summer, c) fall and d) winter.

Table S2. Principal component loadings (VARIMAX normalized) of select metal and trace elements in quasi-UFP ($d_p < 0.25 \mu\text{m}$) at individual sampling sites.

HUD				GRD				LDS					CCL				USC							
	PC1	PC2	PC3		PC1	PC2	PC3	PC4		PC1	PC2	PC3	PC4	PC5		PC1	PC2	PC3	PC4		PC1	PC2	PC3	PC4
Li	0.97	0.14	-0.09	Li	0.87	0.38	-0.01	0.23	Li	0.89	-0.16	0.20	0.22	-0.05	Li	0.71	0.39	0.30	0.38	Li	0.94	0.17	0.07	0.04
Na	0.88	0.29	0.15	Na	0.81	0.25	0.45	0.09	Na	0.38	0.81	0.03	0.28	-0.01	Na	0.34	0.15	0.84	0.32	Na	0.58	0.17	0.46	0.46
Mg	0.99	0.09	0.03	Mg	0.74	0.47	0.28	0.38	Mg	0.82	0.31	0.41	0.19	0.07	Mg	0.75	0.39	0.47	0.17	Mg	0.94	0.16	-0.10	0.21
Al	0.99	0.08	0.12	Al	0.74	0.47	0.36	0.24	Al	0.57	0.60	0.29	0.40	-0.03	Al	0.62	0.56	0.41	0.29	Al	0.87	0.16	-0.17	0.37
S	-0.51	0.50	0.53	S	-0.10	-0.17	0.95	-0.09	S	-0.57	0.76	0.07	0.07	-0.02	S	-0.23	-0.05	-0.01	0.90	S	-0.21	0.95	0.07	0.12
K	0.95	0.18	0.14	K	0.52	0.74	0.30	0.26	K	0.82	0.23	0.49	-0.10	0.11	K	0.87	0.17	0.34	0.25	K	0.97	0.16	-0.06	0.01
Ca	0.98	0.13	0.05	Ca	0.78	0.55	0.18	0.21	Ca	0.88	0.20	0.32	0.20	0.08	Ca	0.81	0.38	0.39	0.18	Ca	0.98	0.09	-0.02	0.17
Ti	0.99	0.02	0.02	Ti	0.84	0.52	0.03	0.17	Ti	0.95	0.11	0.06	0.22	0.08	Ti	0.73	0.53	0.40	0.13	Ti	0.93	-0.04	-0.15	0.26
V	-0.09	0.06	0.91	V	-0.08	-0.07	0.84	0.46	V	-0.40	0.35	0.77	0.14	-0.15	V	-0.03	-0.25	0.05	0.93	V	0.12	0.90	0.12	0.21
Cr	0.79	0.12	0.30	Cr	0.92	0.18	-0.31	-0.04	Cr	0.38	0.02	-0.18	0.89	0.00	Cr	0.21	0.79	0.07	0.13	Cr	-0.27	0.09	0.95	0.05
Mn	0.98	0.14	0.06	Mn	0.80	0.56	-0.03	0.22	Mn	0.91	0.02	0.10	0.31	0.20	Mn	0.75	0.47	0.44	0.09	Mn	0.97	0.04	0.05	0.14
Fe	0.98	0.12	0.07	Fe	0.78	0.59	-0.08	0.16	Fe	0.95	0.00	0.04	0.24	0.19	Fe	0.80	0.48	0.34	-0.03	Fe	0.97	-0.04	0.13	0.10
Co	0.52	0.67	0.22	Co	0.83	0.24	0.30	0.30	Co	0.68	0.24	-0.04	0.56	0.36	Co	0.54	0.56	0.37	0.40	Co	0.72	0.30	-0.05	0.36
Ni	0.45	0.14	0.80	Ni	0.74	0.25	0.49	0.37	Ni	0.18	0.36	0.19	0.88	0.01	Ni	0.26	0.44	0.14	0.79	Ni	-0.22	0.24	0.93	-0.02
Cu	0.69	-0.15	0.44	Cu	0.77	0.61	-0.08	0.06	Cu	0.94	0.03	-0.03	0.16	0.19	Cu	0.42	0.81	0.16	-0.29	Cu	0.10	0.18	-0.37	0.79
Zn	0.58	0.62	0.11	Zn	0.44	0.86	0.14	0.04	Zn	0.60	0.69	0.34	-0.05	-0.07	Zn	0.82	0.25	0.16	0.45	Zn	0.92	0.29	0.03	-0.11
As	0.79	0.22	-0.22	As	0.41	0.34	0.06	0.82	As	0.31	-0.10	0.82	0.02	0.30	As	0.39	0.19	0.75	0.22	As	0.67	-0.29	0.09	0.30
Rb	0.99	0.05	0.08	Rb	0.74	0.57	0.10	0.34	Rb	0.76	-0.05	0.33	0.05	0.55	Rb	0.83	0.30	0.40	0.15	Rb	0.95	0.14	-0.11	0.22
Sr	0.99	0.09	-0.01	Sr	0.22	0.88	-0.24	0.03	Sr	0.90	0.03	0.09	0.21	-0.01	Sr	0.80	0.35	0.44	0.06	Sr	0.90	0.02	-0.09	-0.08
Y	0.96	0.09	-0.03	Y	0.76	0.53	0.13	0.34	Y	0.89	0.10	0.03	0.28	0.17	Y	0.50	0.68	0.26	-0.06	Y	0.94	-0.13	-0.01	0.24
Nb	0.97	0.10	0.17	Nb	0.88	0.43	0.00	-0.02	Nb	0.97	0.02	-0.03	0.15	0.10	Nb	0.74	0.53	0.37	0.03	Nb	0.87	-0.19	-0.03	0.31
Mo	0.93	0.10	0.22	Mo	0.72	0.63	-0.12	0.13	Mo	0.90	-0.14	0.10	0.24	0.24	Mo	0.84	0.39	0.20	0.01	Mo	0.30	-0.03	0.84	-0.34
Cd	0.78	0.35	0.07	Cd	0.41	0.84	0.22	0.25	Cd	0.61	0.22	0.70	-0.20	0.12	Cd	0.94	0.07	0.15	0.11	Cd	0.90	0.38	0.05	-0.12
Sb	0.98	0.02	0.04	Sb	0.76	0.60	-0.08	0.22	Sb	0.96	-0.09	0.07	0.12	0.22	Sb	0.41	0.09	0.82	-0.17	Sb	0.98	-0.09	0.01	0.01
Cs	0.98	0.00	-0.01	Cs	0.85	0.32	0.03	0.38	Cs	0.78	-0.06	0.31	0.43	0.19	Cs	0.60	0.37	0.67	0.00	Cs	0.50	0.26	0.09	0.70
Ba	0.97	0.18	0.01	Ba	0.78	0.62	-0.07	0.10	Ba	0.98	-0.02	0.04	0.08	0.18	Ba	0.84	0.39	0.26	-0.09	Ba	0.99	-0.13	0.03	0.02
La	0.01	0.91	0.03	La	0.16	0.33	0.91	-0.06	La	-0.32	0.90	0.02	0.07	0.09	La	0.49	0.02	0.05	0.83	La	0.50	0.19	-0.08	-0.08
Ce	0.98	0.19	0.01	Ce	0.59	0.76	0.10	0.23	Ce	0.87	0.31	0.25	0.12	0.26	Ce	0.92	0.15	0.20	0.17	Ce	0.98	0.15	-0.01	0.03
Pr	0.98	0.09	0.12	Pr	0.59	0.69	0.17	0.33	Pr	0.88	0.17	0.32	0.12	0.27	Pr	0.86	-0.01	0.18	0.04	Pr	0.95	0.13	-0.10	0.21
Nd	0.98	0.09	0.07	Nd	0.66	0.67	0.14	0.29	Nd	0.87	0.17	0.25	0.19	0.31	Nd	0.86	0.32	0.36	0.15	Nd	0.94	0.14	-0.12	0.23
Sm	0.90	0.33	0.19	Sm	0.70	0.53	0.43	-0.06	Sm	0.56	0.55	0.12	0.25	0.53	Sm	0.65	0.18	0.30	0.62	Sm	0.88	0.36	-0.04	0.25
Eu	0.98	0.14	0.02	Eu	0.72	0.64	0.00	0.24	Eu	0.95	-0.04	-0.01	0.10	0.28	Eu	0.83	0.43	0.30	-0.10	Eu	0.98	-0.13	-0.04	0.08
Dy	0.98	0.10	0.09	Dy	0.76	0.50	0.09	0.38	Dy	0.69	0.15	0.37	0.20	0.43	Dy	0.69	0.42	0.48	0.22	Dy	0.93	0.10	-0.07	0.25
Ho	0.97	-0.02	0.06	Ho	0.78	0.56	0.17	0.08	Ho	0.63	-0.06	0.10	-0.07	0.71	Ho	0.78	0.38	0.23	0.13	Ho	0.84	-0.02	-0.04	0.42
Pb	0.98	0.06	0.14	Pb	0.67	0.66	0.15	0.29	Pb	0.71	0.14	0.18	0.09	0.38	Pb	0.74	0.39	0.34	-0.20	Pb	0.97	-0.02	-0.04	-0.08
Eigenvalue	27.646	1.601	2.658	Eigenvalue	27.72	1.52	3.62	1.10	Eigenvalue	23.75	4.36	1.33	2.54	1.06	Eigenvalue	25.01	1.59	1.43	4.05	Eigenvalue	24.24	3.72	2.84	1.63
% of variance	76.849	7.503	6.806	% of variance	47.80	30.45	11.16	7.58	% of variance	57.88	11.50	9.33	9.00	6.71	% of variance	46.94	16.41	15.14	13.18	% of variance	66.50	9.78	8.70	7.69

HMS		FRE		VBR		GRA		LAN											
	PC1	PC2	PC3	PC4	PC2	PC1	PC2	PC3	PC4	PC5	PC1	PC2	PC3	PC4	PC5				
Li	0.88	0.30	0.17	0.25	Li	0.99	0.07	Li	0.84	0.19	0.42	-0.03	-0.25	Li	0.72	-0.05	0.27	0.41	0.41
Na	0.72	0.27	0.53	0.33	Na	0.89	0.39	Na	0.65	0.64	0.12	0.36	-0.02	Na	0.12	0.86	0.26	0.24	-0.18
Mg	0.92	0.19	0.27	0.16	Mg	0.98	0.08	Mg	0.93	0.25	0.11	0.20	0.09	Mg	0.76	0.56	0.01	0.00	-0.19
Al	0.85	0.30	0.36	0.17	Al	0.97	0.16	Al	0.92	0.24	0.14	0.17	0.16	Al	0.91	0.33	0.14	0.04	0.03
S	-0.09	-0.01	0.98	0.05	S	0.07	0.97	S	0.27	-0.01	-0.02	0.89	-0.24	S	-0.09	0.94	-0.11	-0.16	-0.03
K	0.97	0.13	0.16	-0.05	K	0.92	0.22	K	0.87	0.40	0.09	0.18	0.10	K	0.71	0.61	-0.03	0.14	0.17
Ca	0.94	0.25	0.11	0.09	Ca	0.98	0.07	Ca	0.91	0.34	0.08	0.08	0.21	Ca	0.95	-0.06	0.10	0.00	0.06
Ti	0.88	0.44	0.10	0.10	Ti	0.95	0.17	Ti	0.87	0.30	0.11	0.15	0.31	Ti	0.89	0.10	0.19	0.20	0.19
V	-0.13	-0.56	0.77	-0.15	V	-0.28	0.92	V	-0.02	0.09	-0.14	0.93	-0.03	V	-0.05	0.91	-0.03	-0.07	0.31
Cr	0.57	0.78	0.00	-0.02	Cr	0.90	-0.13	Cr	0.42	0.90	0.08	-0.05	0.03	Cr	0.15	-0.21	0.90	0.28	0.00
Mn	0.84	0.49	0.14	0.05	Mn	0.99	0.05	Mn	0.88	0.24	0.14	0.11	0.32	Mn	0.87	0.13	0.12	-0.04	0.35
Fe	0.88	0.46	0.00	0.01	Fe	0.99	-0.04	Fe	0.90	0.31	0.16	0.10	0.24	Fe	0.93	0.11	0.18	0.12	0.26
Co	0.50	0.65	0.50	-0.11	Co	0.93	0.28	Co	0.70	0.57	0.13	0.25	0.23	Co	0.71	0.51	0.23	0.24	0.09
Ni	0.23	0.28	0.86	-0.07	Ni	0.90	0.30	Ni	0.49	0.85	0.11	0.11	0.04	Ni	0.18	0.33	0.84	0.22	0.10
Cu	0.42	0.73	0.33	0.00	Cu	0.95	0.00	Cu	0.59	0.09	0.08	-0.16	0.69	Cu	0.42	-0.34	0.50	0.59	-0.25
Zn	0.63	0.38	0.34	-0.16	Zn	0.90	0.37	Zn	0.51	0.35	0.42	0.39	0.35	Zn	0.44	0.16	0.18	0.80	0.05
As	0.41	0.44	0.00	0.67	As	0.63	0.11	As	0.72	0.10	0.64	0.05	0.18	As	0.34	-0.15	0.37	0.27	0.67
Rb	0.96	0.17	0.10	0.06	Rb	0.97	0.04	Rb	0.95	0.25	0.11	0.09	0.06	Rb	0.87	0.27	0.07	0.08	0.23
Sr	0.92	0.24	0.18	0.10	Sr	0.94	0.17	Sr	0.90	0.29	0.09	0.20	0.20	Sr	0.85	0.09	0.46	0.13	0.00
Y	0.10	-0.16	-0.11	0.96	Y	0.98	0.02	Y	0.93	0.29	0.13	0.03	0.15	Y	0.92	-0.13	-0.11	0.14	-0.21
Nb	0.88	0.39	0.01	0.17	Nb	0.99	0.00	Nb	0.88	0.22	0.19	0.10	0.29	Nb	0.88	-0.30	0.18	0.03	0.00
Mo	0.72	0.58	0.23	-0.12	Mo	0.95	0.12	Mo	0.35	0.00	0.29	-0.34	0.68	Mo	0.74	-0.34	-0.02	0.40	0.14
Cd	0.67	0.14	0.50	0.15	Cd	0.81	0.25	Cd	-0.16	-0.01	0.97	-0.14	-0.02	Cd	-0.26	-0.05	0.50	0.76	0.01
Sb	0.85	0.36	-0.20	0.11	Sb	0.98	0.06	Sb	0.62	0.07	0.65	0.00	0.38	Sb	0.08	0.04	0.30	0.93	0.12
Cs	0.83	0.10	-0.03	0.52	Cs	0.97	0.02	Cs	0.95	0.18	0.23	0.12	0.06	Cs	0.85	0.03	0.16	0.09	0.15
Ba	0.89	0.42	-0.14	-0.08	Ba	0.99	-0.10	Ba	0.86	0.31	0.17	0.03	0.34	Ba	0.87	-0.21	-0.05	0.20	0.21
La	0.29	0.25	0.84	-0.13	La	0.41	0.81	La	0.60	0.21	0.00	0.68	0.22	La	0.15	0.90	-0.24	0.00	-0.12
Ce	0.92	0.29	0.20	-0.05	Ce	0.98	0.14	Ce	0.90	0.25	0.12	0.18	0.28	Ce	0.94	0.13	-0.01	0.06	0.04
Pr	0.95	0.18	0.15	0.15	Pr	0.98	0.04	Pr	0.94	0.25	0.11	0.14	0.12	Pr	0.96	0.23	-0.02	0.06	0.08
Nd	0.95	0.21	0.14	0.17	Nd	0.99	0.03	Nd	0.94	0.22	0.13	0.16	0.14	Nd	0.96	0.17	0.04	-0.01	0.02
Sm	0.85	0.21	0.41	0.15	Sm	0.93	0.31	Sm	0.94	0.21	0.09	0.20	0.07	Sm	0.68	0.66	-0.18	0.02	-0.17
Eu	0.92	0.36	-0.02	-0.08	Eu	0.99	-0.07	Eu	0.90	0.27	0.11	0.01	0.26	Eu	0.93	-0.23	-0.03	0.19	-0.14
Dy	0.93	0.22	0.09	0.17	Dy	0.99	0.04	Dy	0.92	0.33	0.15	0.03	0.11	Dy	0.93	0.04	-0.05	0.01	-0.24
Ho	0.98	0.07	0.10	0.07	Ho	0.96	-0.06	Ho	0.98	0.08	0.08	0.02	0.03	Ho	0.94	0.21	0.12	0.07	-0.13
Pb	0.61	0.58	0.13	0.10	Pb	0.93	0.16	Pb	0.42	0.24	0.84	-0.01	0.12	Pb	-0.04	-0.15	0.91	0.23	0.13
Eigenvalue	25.08	1.39	3.96	2.14	Eigenvalue	29.25	2.94	Eigenvalue	26.09	1.41	1.88	3.24	1.05	Eigenvalue	19.25	5.99	4.33	1.43	1.22
% of variance	58.84	14.34	13.62	6.28	% of variance	82.50	9.46	% of variance	60.08	11.45	9.55	8.59	6.55	% of variance	51.03	16.20	10.93	9.66	4.24

Table S3. Principal component loadings (VARIMAX normalized) of select metal and trace elements in quasi-UFP ($d_p < 0.25 \mu\text{m}$) at sites' clusters, including a) Long Beach (HUD), b) Los Angeles (GRD, LDS, CCL, USC, HMS, FRE), c) Riverside (VBR, GRA) and d) Lancaster (LAN).

Long Beach(HUD)			Los Angeles (GRD, LDS, CCL, USC, HMS, FRE)				Riverside(VBR,GRA)					Lancaster								
	PC1	PC2	PC3	PC1	PC2	PC3	PC4	PC1	PC2	PC3	PC4	PC5	PC1	PC2	PC3	PC4	PC5			
Li	0.97	0.14	-0.09	Li	0.91	0.11	0.09	0.08	Li	0.86	0.32	-0.07	0.12	-0.31	Li	0.90	0.35	0.01	-0.13	0.13
Na	0.88	0.29	0.15	Na	0.73	0.33	0.38	0.21	Na	0.55	0.18	0.56	0.53	-0.04	Na	0.58	0.74	-0.12	0.19	0.13
Mg	0.99	0.09	0.03	Mg	0.95	0.14	0.09	0.12	Mg	0.94	0.06	0.23	0.19	0.00	Mg	0.91	0.33	-0.04	0.17	0.03
Al	0.99	0.08	0.12	Al	0.92	0.19	0.12	0.12	Al	0.94	0.09	0.14	0.19	0.03	Al	0.95	0.20	0.07	0.15	-0.07
S	-0.51	0.50	0.53	S	-0.08	0.92	0.10	0.02	S	0.11	-0.05	0.94	-0.01	-0.14	S	0.29	0.88	-0.22	0.18	-0.09
K	0.95	0.18	0.14	K	0.93	0.15	0.05	0.01	K	0.89	0.06	0.26	0.29	0.03	K	0.77	0.46	0.06	-0.08	0.36
Ca	0.98	0.13	0.05	Ca	0.97	0.08	0.11	0.09	Ca	0.93	0.05	0.04	0.27	0.22	Ca	0.94	0.18	-0.02	0.11	0.04
Ti	0.99	0.02	0.02	Ti	0.92	-0.05	0.19	0.05	Ti	0.89	0.15	0.11	0.22	0.27	Ti	0.84	0.41	0.06	-0.09	0.31
V	-0.09	0.06	0.91	V	-0.15	0.83	-0.04	-0.03	V	-0.02	-0.06	0.93	0.06	-0.06	V	0.56	0.73	-0.28	0.00	0.06
Cr	0.79	0.12	0.30	Cr	0.17	-0.10	0.96	-0.01	Cr	0.44	0.13	-0.06	0.87	0.03	Cr	0.47	0.59	0.47	-0.05	-0.02
Mn	0.98	0.14	0.06	Mn	0.95	-0.04	0.22	0.08	Mn	0.84	0.13	0.13	0.15	0.38	Mn	0.83	0.40	0.17	-0.06	0.30
Fe	0.98	0.12	0.07	Fe	0.94	-0.14	0.27	-0.01	Fe	0.90	0.16	0.11	0.24	0.28	Fe	0.84	0.34	0.33	0.02	0.23
Co	0.52	0.67	0.22	Co	0.82	0.18	0.30	0.00	Co	0.72	0.15	0.32	0.49	0.25	Co	0.80	0.46	0.11	-0.15	0.31
Ni	0.45	0.14	0.80	Ni	0.12	0.36	0.89	0.01	Ni	0.47	0.20	0.18	0.83	0.09	Ni	0.64	0.48	0.32	-0.32	0.14
Cu	0.69	-0.15	0.44	Cu	0.69	-0.15	0.27	-0.05	Cu	0.26	0.48	-0.21	0.15	0.66	Cu	0.46	0.01	0.79	-0.17	-0.06
Zn	0.58	0.62	0.11	Zn	0.87	0.27	0.02	-0.08	Zn	0.51	0.49	0.28	0.22	0.34	Zn	0.15	0.27	0.19	0.82	0.14
As	0.79	0.22	-0.22	As	0.62	0.00	0.07	0.51	As	0.54	0.60	0.01	0.06	0.30	As	-0.06	-0.09	0.35	-0.18	-0.78
Rb	0.99	0.05	0.08	Rb	0.96	0.03	0.09	0.09	Rb	0.97	0.09	0.09	0.17	-0.02	Rb	0.89	0.37	0.00	-0.09	0.23
Sr	0.99	0.09	-0.01	Sr	0.86	-0.08	0.12	-0.05	Sr	0.85	0.18	0.17	0.28	0.30	Sr	0.85	0.43	0.09	0.17	0.12
Y	0.96	0.09	-0.03	Y	0.06	-0.05	-0.04	0.92	Y	0.91	0.04	-0.03	0.16	0.29	Y	0.97	0.06	0.05	0.13	0.02
Nb	0.97	0.10	0.17	Nb	0.92	-0.14	0.22	0.06	Nb	0.81	0.16	-0.03	0.16	0.44	Nb	0.86	0.39	0.10	-0.11	0.21
Mo	0.93	0.10	0.22	Mo	0.69	-0.11	0.58	-0.06	Mo	0.39	0.25	-0.27	-0.07	0.65	Mo	-0.10	0.01	0.95	-0.14	-0.16
Cd	0.78	0.35	0.07	Cd	0.83	0.24	-0.05	0.12	Cd	-0.16	0.94	-0.11	0.06	-0.07	Cd	-0.31	0.16	0.83	0.26	-0.10
Sb	0.98	0.02	0.04	Sb	0.85	-0.21	0.16	0.03	Sb	0.37	0.82	0.07	0.06	0.31	Sb	0.03	-0.21	0.94	0.04	0.02
Cs	0.98	0.00	-0.01	Cs	0.81	0.02	0.26	0.31	Cs	0.95	0.20	0.07	0.12	0.08	Cs	0.93	0.32	-0.03	-0.06	0.00
Ba	0.97	0.18	0.01	Ba	0.93	-0.20	0.19	-0.07	Ba	0.81	0.14	0.01	0.20	0.48	Ba	0.36	-0.07	0.88	0.17	0.11
La	0.01	0.91	0.03	La	0.42	0.81	0.10	-0.08	La	0.43	-0.10	0.81	0.08	0.11	La	0.75	0.58	-0.04	0.28	0.02
Ce	0.98	0.19	0.01	Ce	0.92	0.11	0.08	-0.06	Ce	0.92	0.07	0.15	0.18	0.26	Ce	0.94	0.18	0.23	0.08	0.05
Pr	0.98	0.09	0.12	Pr	0.91	0.06	0.06	0.06	Pr	0.96	0.07	0.14	0.18	0.10	Pr	0.97	0.22	0.07	0.05	-0.06
Nd	0.98	0.09	0.07	Nd	0.97	0.05	0.11	0.09	Nd	0.97	0.07	0.12	0.15	0.09	Nd	0.96	0.20	0.07	0.08	-0.07
Sm	0.90	0.33	0.19	Sm	0.89	0.32	0.11	0.10	Sm	0.91	0.04	0.32	0.14	0.07	Sm	0.92	0.33	0.12	0.09	-0.01
Eu	0.98	0.14	0.02	Eu	0.95	-0.11	0.11	-0.04	Eu	0.93	0.06	-0.08	0.17	0.23	Eu	0.68	0.14	0.61	0.27	-0.16
Dy	0.98	0.10	0.09	Dy	0.94	0.05	0.14	0.14	Dy	0.94	0.06	0.02	0.25	0.10	Dy	0.90	0.14	0.16	0.18	-0.25
Ho	0.97	-0.02	0.06	Ho	0.90	-0.02	0.14	0.08	Ho	0.97	0.08	0.04	0.05	0.01	Ho	0.95	0.07	0.01	-0.24	0.01
Pb	0.98	0.06	0.14	Pb	0.89	-0.04	0.09	0.08	Pb	0.12	0.79	-0.11	0.32	0.12	Pb	0.50	0.76	0.31	0.05	0.15
Eigenvalue	27.646	1.601	2.658	Eigenvalue	23.83	2.99	2.02	1.27	Eigenvalue	23.33	2.54	3.85	1.40	1.10	Eigenvalue	23.31	2.17	5.05	1.41	1.06
% of variance	76.849	7.503	6.806	% of variance	65.16	8.62	8.19	4.06	% of variance	56.50	10.08	9.92	8.42	7.16	% of variance	55.08	15.84	14.99	4.24	4.13

Table S4a-d. Pearson correlation coefficients between select species in quasi-UFP ($d_p < 0.25 \mu\text{m}$) at sites' clusters including a) Long Beach (HUD), b) Los Angeles (GRD, LDS, CCL, USC, FRE, HMS), c) Riverside (VBR, GRA) and d) Lancaster (LAN).

